

I-147 1 支承支持斜角箱桁について

道路公団 正員 大橋邦夫
 栗本鉄工所 正員 奥村敏久
 栗本鉄工所 正員 矢切 育

1. まえがき

箱桁は、その圓心をとる骨組部材に置き換えて解析するのが現在の設計の常套手段となっているが、このモデル化は斜めに支持された箱桁については正当性に欠ける点が多い。特に、支承付近および端横桁部の応力分布や変形状態は明確に解析され得ない。斜角箱桁については、これまでにも種々研究報告されていて、それらは、端部が2つの支承で支持されたものであり、変位については比較的明解である。これに比べて、1支承で箱桁中心を支持した場合の斜橋では、端部の変位に対する拘束が少なく、変位状態を正確に把握することができない。また、これに伴う端隔板および端部横桁等の応力分布を推定することが困難である。この方面的解析方法としては有限要素法。その他も考えられるが、その場合もモデル化等に種々の問題がある。本文は、以上ら問題点のうち伸縮装置との取り合い等に深い関係をもつ桁端部の変位に重点をおいて実橋測定を行い、その結果と設計理論値との比較検討を行なうものである。

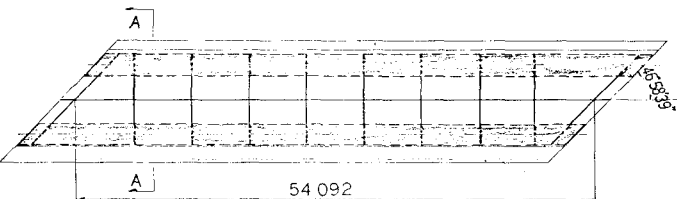
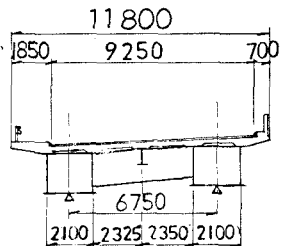


図-1 一般図



A-A

2. 実橋測定

測定の対象とした橋梁の構造は、2本の箱断面主桁と主桁に直交する工字断面形状の分配横桁を多数有する斜角(左46°58'39")の単純非合成立格子桁で、箱桁の中心を1支承で支持している。一般寸法は、図-1に示す。

測定時に作用させた荷重は床版コンクリートで、測定項目および測定方法は i) 桁端部の変位 — 固定支承側の各桁端線および支承線上各点をダイヤルゲージ・ノギスにより測定。(測点12、図-1)。ii) 桁端、端横桁の応力 — 固定支承部鉛直側桁の端隔板から第1隔板内と3軸ロゼットゲージにより歪測定(測点33)。iii) 主桁・横桁の各点の応力 — 測長100mmのコンタクトゲージ使用(主桁7点・横桁8点、図-8)。iv) 主桁各点のたわみ — レベル測量(測点44)。である。温度応力の影響を少なくするために、測定時間を早朝・夕刻にて歎吸前後の測定時の温度条件を含めさせてるようにアルコール温度計を使用し気を配った。

3. 計算値

図-2のような骨組構造物にモデル化して、面外荷重をうけた平面構造物の解法として従来用いられている変形法により、計算値を算出した。

CASE-1は、2つの箱桁のそれぞれの重心線と横桁部材で連結しており、一般的なモデル化による解法である。(図-2の上)

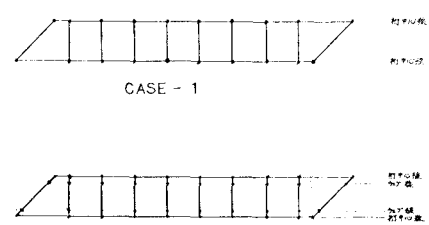


図-2 骨組

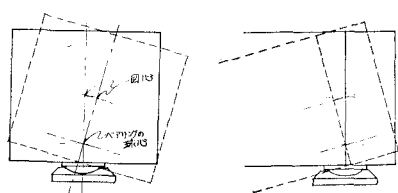


図-3 回転の中心

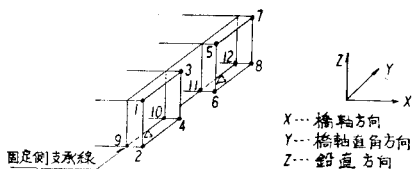


図-4 端部変位測点

CASE-2は、実橋により近似させるという目的で、桁の重心線からウェブまで剛な横桁とし、残りを実際の横桁部材としている。CASE-1より厳密なモデル化と考えられる。(図-2の下)

桁端部の変位は、支点でのたみおよびねじりの回転の中心を箱桁の回心にとらす、球面支承のペアリングのRの中心において(図-3)、端隔板は剛なものとするむろ変形しないものと仮定して幾何学的に計算した。(表-1)。

4. 結果と考察

図-5に、端部変位の測定結果と計算値の比較を示す。この結果から、測定値には測定誤差・計算値には仮定誤差が多少含まれていると考えられるが、

また、CASE-1とCASE-2の計算結果は端部変位についていえば大差ないので、計算時間の少なくてすむCASE-1のモデル化で実用上問題ないと考えられる。応力測定の結果を表-2に示す。

中央部の主桁および横桁の応力については、測定値と計算値はほぼ合っているが、端部附近の横桁の応力については測定誤差もあるが、実応力は設計応力をかなり下まわっており、骨組構造のモデル化に無理があることを示している。また、応力については、CASE-2の方がCASE-1より実応力に近いことがわかる。この端横桁の応力は、ロゼットゲージによる測定でも近い値が示された。以上は、2箱桁について述べたが、3箱桁についても同条件の測定を行なっており、結果は同じような傾向にある。それらについても報告する予定である。

参考文献 小松、中井、向山；斜支持箱桁橋の静的解析、土木学会論文集No.189

(UNIT: mm)														
測定値	1	3	2	4	1	3	2	4	1	3	2	4	9	10
CASE-1														
X	-0.46	-0.50	1.28	1.29	8.01	7.78	-0.76	-0.91	5.07	-5.11	5.09	-5.07	5.09	-5.07
Y	-0.4	-0.50	1.28	1.29	8.01	7.78	-0.76	-0.91	5.07	-5.11	5.09	-5.07	5.09	-5.07
Z	-0.4	-0.50	1.28	1.29	8.01	7.78	-0.76	-0.91	5.07	-5.11	5.09	-5.07	5.09	-5.07
CASE-2														
X	-10.10	-10.13	1.24	1.20	8.49	8.41	-1.02	-1.05	6.37	-6.32	5.90	-6.37	5.90	-6.37
Y	-10.10	-10.13	1.24	1.20	8.49	8.41	-1.02	-1.05	6.37	-6.32	5.90	-6.37	5.90	-6.37
Z	-10.10	-10.13	1.24	1.20	8.49	8.41	-1.02	-1.05	6.37	-6.32	5.90	-6.37	5.90	-6.37
測定値	5	7	6	8	5	7	6	8	1	3	2	4	11	12
CASE-1														
X	-9.47	-9.62	0.43	0.60	8.63	8.60	-0.64	-0.58	5.49	-5.23	5.21	-5.2	5.21	-5.21
Y	-9.47	-9.62	0.43	0.60	8.63	8.60	-0.64	-0.58	5.48	-5.22	5.20	-5.2	5.21	-5.21
Z	-9.47	-9.62	0.43	0.60	8.63	8.60	-0.64	-0.58	5.48	-5.22	5.20	-5.2	5.21	-5.21
CASE-2														
X	-9.10	-9.23	0.40	0.58	8.89	8.71	-0.57	-0.60	6.32	-6.36	6.37	-6.39	6.39	-6.39
Y	-9.10	-9.23	0.40	0.58	8.89	8.71	-0.57	-0.60	6.32	-6.36	6.37	-6.39	6.39	-6.39
Z	-9.10	-9.23	0.40	0.58	8.89	8.71	-0.57	-0.60	6.32	-6.36	6.37	-6.39	6.39	-6.39

表-1. 端部変位 計算値

c. 鋼直方向変位 (Z)

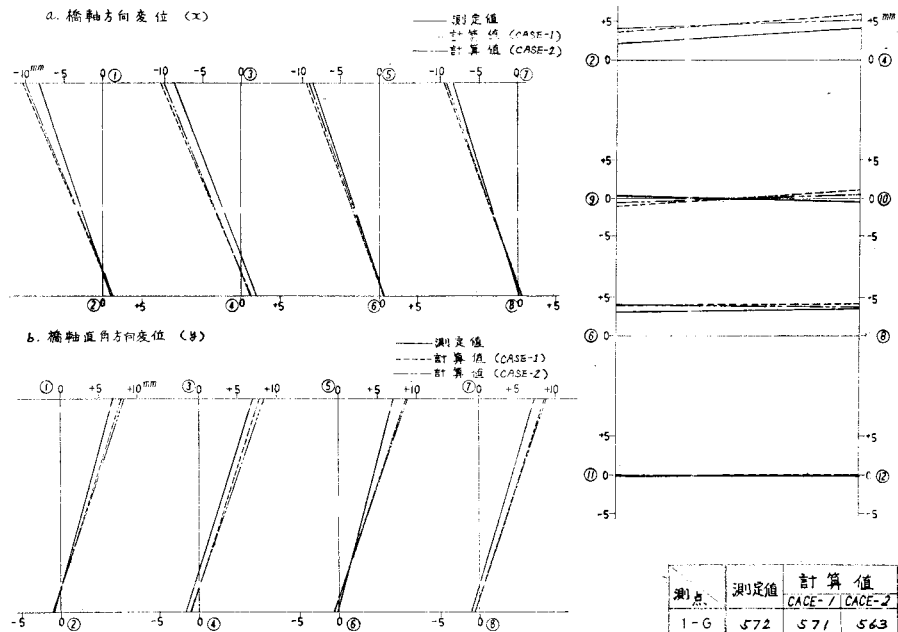


図-5 端部変位の測定値



図-6. コンタクトゲージ測点

測点	測定値	計算値
CASE-1		
1-C	572	571
2-C	567	580
3-C	493	486
4-C	503	496
5-C	383	338
6-C	252	234
7-C	231	234
1-C	15	14
2-C	21	26
3-C	210	277
4-C	223	-167
5-C	147	659
6-C	-84	-443
7-C	252	399
8-C	-315	-194
CASE-2		
1-C	563	
2-C	567	
3-C	476	
4-C	476	
5-C	318	
6-C	216	
7-C	216	
1-C	31	
2-C	42	
3-C	236	
4-C	-52	
5-C	594	
6-C	-240	
7-C	229	
8-C	-578	

表-2 応力度